

DRAFT 管이 있는 三相 流動層塔의 流動 및 物質傳達 特性

李成熙·崔浩尚*·朴永泰*·都甲守**

慶北地方工業試驗所

*慶北產業大學 工業化學科

**崇實大學 化學工學科

(1989년 3월 30일 접수, 1989년 7월 18일 채택)

The Characteristics of Hydrodynamics and Mass Transfer in Three Phase Fluidized Column with Draft Tube

Sung Hee Lee, Ho Sang Choi*, Young Tae Park*, and Kap Soo Doh**

Kyungbuk Industrial Testing Center, Taegu 704-340, Korea

*Dept. of Ind. Chem., Kyungbuk Sanup University, Taegu 701-031, Korea

**Dept. of Chem. Eng., Soongsil University, Seoul 156-743, Korea

(Received 30 March 1989; accepted 18 July 1989)

要 約

Draft 管이 있는 三相 流動層塔에서 液相(물)-氣相(空氣)-固相(glass bead)의 三相系에 對하여, 氣相 滯留量과 物質傳達 特性을 氣相과 液相의 流速, draft 管의 크기 및 glass bead 的 크기 等에 따라 實驗的으로 考察하였다.

總括 氣相 滯留量은 氣相 流速에 따라 增加하였고, 液相 流速과 固體粒子크기의 增加에 따라서는 減少하는 傾向을 나타내었다. 總括 容量 物質傳達係數는 氣相 流速과 draft 管의 크기가 增加함에 따라 增加하였고, 液相 流速과 固體粒子 크기의 增加에 對하여는 減少하는 傾向을 나타내었다. 總括 氣相 滯留量과 總括 容量 物質傳達係數를 本 裝置系의 實驗變數에 對하여 다음과 같은 經驗式으로 나타낼 수 있었다.

$$\epsilon_g = 0.01493 (D_t/D_c)^{0.0993} d_p^{-0.1115} U_L^{-0.0914} U_g^{0.9113}$$

$$\bar{K}_L a = 0.00653 (D_t/D_c)^{1.8054} d_p^{-0.3090} U_L^{-0.5056} U_g^{0.7306}$$

Abstract—An experimental study was carried out to investigate the characteristics of hydrodynamics and mass transfer in a three phase fluidized column with the draft tube. The gas holdup and the mass transfer coefficient were measured by conducting experiment for air-water-glass bead systems.

The overall gas holdup increased with the gas velocity and tended to decrease with the particle size, and the overall volumetric mass transfer coefficient increased with the gas velocity and the size of the draft tube, and showed a tendency to decrease with increasing liquid velocity and solid particle size. Dependences of the overall gas holdup and the overall volumetric mass transfer coefficient on each experimental variable were given by the following empirical equations:

$$\epsilon_g = 0.01493 (D_t/D_c)^{0.0993} d_p^{-0.1115} U_L^{-0.0914} U_g^{0.9113}$$

$$\bar{K}_L a = 0.00653 (D_t/D_c)^{1.8054} d_p^{-0.3090} U_L^{-0.5056} U_g^{0.7306}$$

1. 序 論

三相 流動層은 化學工業의 여러 分野에서 많이 利用되고 있으며, 最近에는 廢水處理工程이나 高粘度 溶液을 使用하는 好氣性 發酵 生物學 反應器에도 많이 使用되고 있다[1-3].

三相 流動層 操作에 關한 研究는 流動層에서의 固體粒子와 流動化 媒體 사이의 涡流混合에 依하여 氣相 - 液相 - 固相의 混合度가 크고 热 및 物質傳達速度를 向上시킬 수 있는 方向으로 進行되고 있다. 그 中에서도 draft 管이 設置된 二重 氣泡塔이 理想 混合塔型 反應器와 같은 높은 混合效率과 理想 管形 反應器에서 와 같이 高濃度差의 物質傳達效果를 얻는 것을 邁切히 調和시킬 수 있고, 相當히 낮은 氣相 및 液相 流速으로도 固體粒子의 流動화가 可能하며, 液相의 滞留時間을 制御하기가 容易하므로 大量의 原料를 處理해야 하는 高濃度의 廢水處理工程에 適合한 것으로 思料된다.

現在까지 圓筒形 氣泡塔에서 氣 - 液 - 固 3相의 氣相滯流量, 氣 - 液相 分散係數 및 物質傳達에 關한 資料는 Koide 等[4], Muroyama 等[5], Choi 等[6]과 Yamashita 等[7]에 依하여 많이 提示되고 있으나 draft 管이 있는 氣 - 液 - 固 三相 流動層塔에서 液相을 連續的으로 處理하는 操作에 關한 研究나 資料는 极히 未盡한 狀態에 있다. Draft 管이 있는 三相 流動層塔을 設計할 경우에는 各 相의 滞留量, 氣相과 液相의 混合效果, 热 및 物質傳達速度, 氣泡크기와 液相의 循環速度 等에 關한 資料가 必要하다.

本 研究에서는 draft 管이 있는 三相 流動層塔에서 氣相(空氣)-液相(물)-固相(glass bead)의 三相系에 對하여 氣相과 液相을 上向 並流로 連續注入하면서 氣相의 相滯留量과 物質傳達係數를 固體粒子크기, draft 管의 크기 및 氣相 - 液相의 流速을 變數로 하여 測定하고, 各 操作 變數에 따른 影響을 考察하였다.

2. 實 驗

2-1. 實驗裝置

本 研究에 使用된 實驗裝置의 概略圖를 Fig. 1에 圖示하였다. Main column은 內徑이 14 cm, 높이 180 cm인 아크릴管을 使用하였다.

塔은 分配器를 包含하는 calming section, main column 및 上部 weir로 構成되는 部分과 두께 0.3 cm, 높이가 110 cm이고 內徑이 각각 9.4 cm, 8.4 cm,

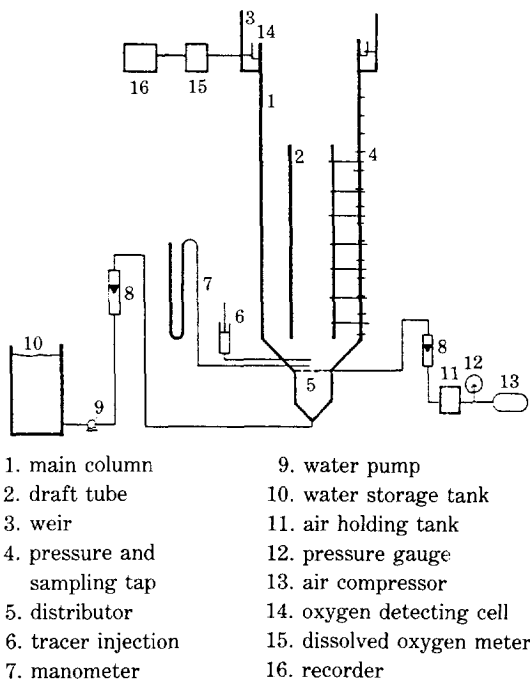


Fig. 1. Schematic diagram of experimental apparatus.

7.4 cm인 아크릴管을 draft 內管으로 하는 部分으로 構成되어 있다. 塔 内部의 流體의 靜壓을 測定하고 試料를 採取할 수 있도록 分配器로부터 10 cm 位置에서부터 10 cm 間隔으로 壓力 tap 과 sampling tap을 設置하였다. Draft 內管部分은 分配器로부터 15 cm 位置에서 15 cm 間隔으로 壓力 tap 과 sampling tap을 設置하였다.

分配器의 上端部分은 固體粒子의 分散을 원활히 하고 分配器와 draft 內管의 有效 hole 斷面積이 잘一致될 수 있도록 cone 形態로 製作하였다. 流動層塔 内의 固體粒子의 流出을 防止할 수 있도록 分配器의 表面과 壓力測定 tap 및 sampling tap에는 40 mesh의 stainless steel sieve를 附着하였다.

Calming section은 液相의 均一한 分散과 液相의 流入時에 일어날 수 있는 涡流現象을 防止하고 一定한 壓力이 維持될 수 있도록 內徑이 分配器의 內徑인 10 cm, 9 cm, 8 cm의 아크릴管으로 製作하였다.

液相은 1 Hp의 gear pump에 依하여 rotameter를 거쳐 分配器의 下部로 流入되어 塔 上部의 weir로 overflow 되어 流出된다. 氣相은 空氣속에 含有된 水分을 除去시킬 수 있도록 吸收탱크를 通過시켜 下部 分

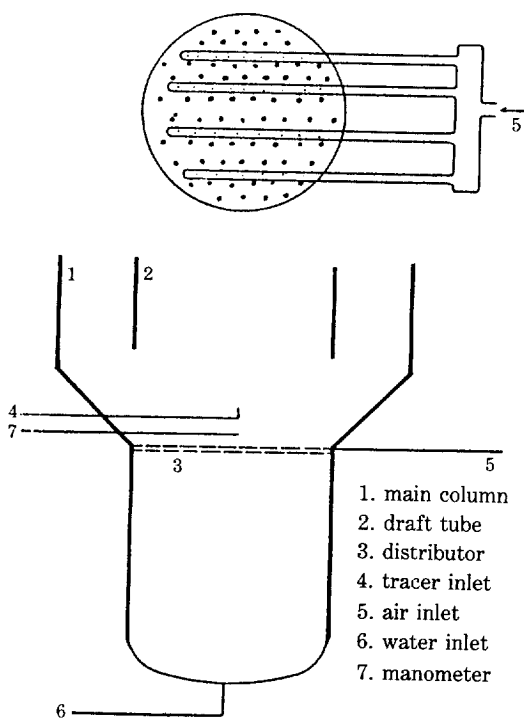


Fig. 2. Schematic diagram of column bottom and distributor.

Table 1. Dimensions of distributor

item	dimension		
diameter(ID) [cm]	10	9	8
no. of liq. hole	98	92	39
dia. of liq. hole [mm]	4	4	4
no. of air hole	28	28	28
dia. of air hole [mm]	2	2	2

分配器의側面을 통하여流入되도록 하였다.

分配器의詳細圖를 Fig. 2에 圖示하고, 상세한 dimension을 Table 1에 나타내었다. 液相은 分配器의下部로, 氣相은 分配器의側面을 통하여流入되어表面으로分散되도록 하였다.

流動層塔內의 靜壓은 壓力測定 tap의 마노미터에서읽어서測定하였다. 마노미터의設置는 流體의振動을적게하여測定點을比較的正確히 읽을 수 있도록 傾斜기울기가 1/7이 되도록 傾斜管 마노미터를設置하였다.

物質傳達實驗에서는 液相으로傳達된 酸素濃度를測定하였다. 酸素傳達의測定에 있어서는 液相인 물속에녹아있는 酸素가 빨리變하지 않는다는假定下에連續的으로 酸素濃度를測定하기 為하여 WTW社(西獨)의 model OXI 96 dissolved oxygen meter를 使用하여 recorder에記錄되도록 하였다.

2-2. 實驗方法

本實驗에서 氣相으로는 壓縮된 空氣, 液相으로는aeration에依하여 녹아있는 鹽素를 除去시킨 水道물(tap water)을 使用하였으며, 固相으로는 진밀도가 2.5 g/cm³이고 粒徑이 0.06 cm, 0.12 cm, 0.16 cm인 3種類의 glass bead를 使用하였다. 液相 流速은 0.36-1.44 cm/s, 氣相 流速은 1.13-5.17 cm/s의範圍로 實驗하였다.

相滯留量은 液相을 overflow시키면서 氣相을 分配器를通하여 分散시켜 全體系가 定常狀態로 될 때, 各壓力tap의 마노미터 눈금을 읽어서 높이에 따른 壓力を測定하고, 總括 氣相滯留量을 氣相과 液相을 동시에停止시켜 액상 높이차에依하여 計算하였다.

物質傳達은 tap water를 aeration시켜 물속에 녹아있는 鹽素를 除去시키고, 殘存酸素은 Na₂SO₃를 使用하여 除去시켰다. 여기서, Na₂SO₃의量은 理論量보다過剩量을投入하여 酸素濃度를 完全히 0으로 되게하였다. 液相을流入시켜 塔內의液相酸素濃度가 0인狀態에서 recorder를調節하고, 氣相을流入시켜 流出되는液相의酸素濃度가定常狀態에到達했을 때 塔上부액상의 산소농도를 측정하여 式(1)에依하여 塔내의 평균 總括容積 物質傳達係數(overall volumetric mass transfer coefficient) K_{La}를 計算하였다. 實驗에서 dissolved oxygen meter의 電極cell이 Na₂SO₃의影響을받아서 實驗값의誤差가發生할 수 있으나, 本實驗에서는繼續的으로同一한量의 Na₂SO₃를 使用하여 電解質에依한影響을無視할 수 있었다.

$$\bar{K}_{La} = \frac{2.303(1-\varepsilon_g)}{t} \log \frac{C_o - C}{C_o - C_i} \quad (1)$$

여기서, C_o는 포화溶存酸素濃度, C_i는 初期流入溶存酸素濃度이고 C는 流出溶存酸素濃度이다.

실험온도는 20±2°C에서 실시하였다.

3. 結果 및 考察

3-1. 相滯留量

固體粒子가 充填된 固-液 2相系의 流動層塔에서 液相을 上向으로 흘려보낼 때, 液相의 speed가 增加함에 따라 여러가지의 흐름形狀을 假定할 수 있다. 流速이 낮은 狀態에서는 bed 内에서 停止해 있는 固體粒子 사이로 스며드는 形狀, 流體의 流速이 增加하면서 粒子들이 약간 振動하여 流動되는 形狀 및 speed가 增加되면서 完全히 suspension 狀態에 이르러 circulation 되는 形狀으로 나눌 수 있다. 初期 流動化가 일어나는 點의 speed가 最小 流動化 speed이다. Fig. 3에 本 裝置系에 있어서 draft 管이 있는 경우와 없는 경우의 固-液 2相系의 最小 流動化 speed를 比較하여 圖示하였다. 여기서, draft 管의 內徑이 9.4 cm이고 固體粒子를 2000g充填시킨 系에서 固體相의 粒徑이 0.06 cm인 경우에는 最小 流動化 speed가 0.45 cm/s이고 粒徑이 0.12 cm일 때는 0.69 cm/s임을 알 수 있었다. Draft 管이 없는 系에서는 粒徑이 0.12 cm에서 最小 流動化 speed가 2.

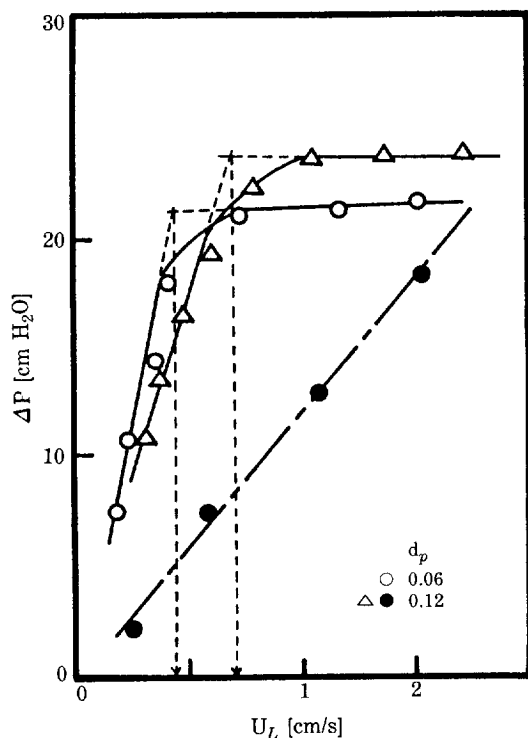


Fig. 3. Determination of minimum fluidizing velocity at liquid-solid system with and without draft tube.

($D_i = 9.4$ cm, $U_g = 0$, $W = 2000$ g).

— with draft tube

— without draft tube

$$U_{mf} = 0.45 \text{ cm/s (for } d_p = 0.06 \text{ cm)}$$

$$U_{mf} = 0.69 \text{ cm/s (for } d_p = 0.12 \text{ cm)}$$

41 cm/s로서 测定되었는데, 이와 같은 現象은 draft 管으로 液相이 流入됨으로서 相對的인 流速의 增加現象이 일어나기 때문에 아주 낮은 流速에서도 粒子가 流動하고 있음을 알 수 있었다.

Draft 管의 크기가 9.4 cm이고 液相 流速이 0.36 cm/s 일 때, 塔內의 全體 靜壓變化를 氣相 流速變化에 對하여 固體相의 粒徑별로 Fig. 4에 圖示하였다. 이때, 塔 内의 靜壓變化가 3段階로 變하고 있음을 알 수 있었는데, A 와 A'점까지는 약간의 層膨脹이 일어나는 段階로 draft 管 內外로 液相만 循環이 되고 있고, A-B 와 A'-B'에서는 draft 管 内에서 氣-液-固 三相이 流動화되고 있는 段階로 여기서는 氣-液 2相이 annulus 쪽으로 循環되어 지고 있으며, 또 B 와 B'點 以上에서는 draft 管 內外로 氣-液-固 三相이 完全히 流動화되어 循環되고 있는 段階이다. 固體相의 粒徑이 0.06 cm 인 경우에는 層膨脹 段階의 氣相 流速은 1.15 cm/s, draft 管 內外로 完全 流動화되는 氣相 流速은 2.54 cm/s 이었으며, 粒徑이 0.12 cm인 경우는 1.70 cm/s 와 4.21 cm/s 이었다.

마노미터의 靜壓 profile에 依하여 三相 流動層에서 draft 管의 内部와 annulus 部分에 對하여 높이에 따른 靜壓을 測定하여 Fig. 5에 圖示하였다. Draft 管으로 氣相을 分射시킴으로서 管 内의 相對的 流速이 急激히 上昇되므로 draft 管에서 annulus 쪽으로 液相이

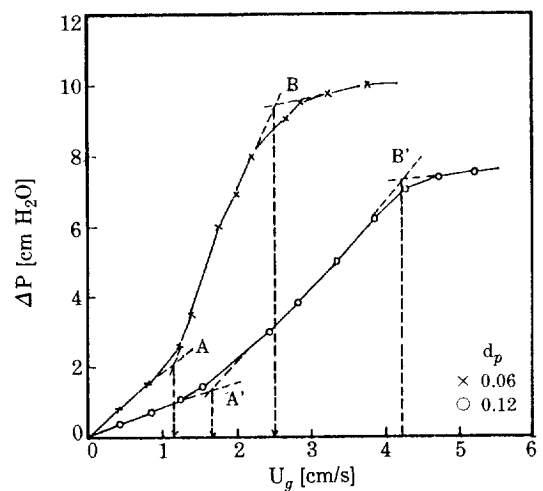


Fig. 4. Effect of gas velocity on pressure difference at gas-liquid solid system.

($U_J = 0.36 \text{ cm/s}$, $D_i = 9.4 \text{ cm}$)

bed expansion

A 1.15 cm/s

circulation

B 2.54 cm/s

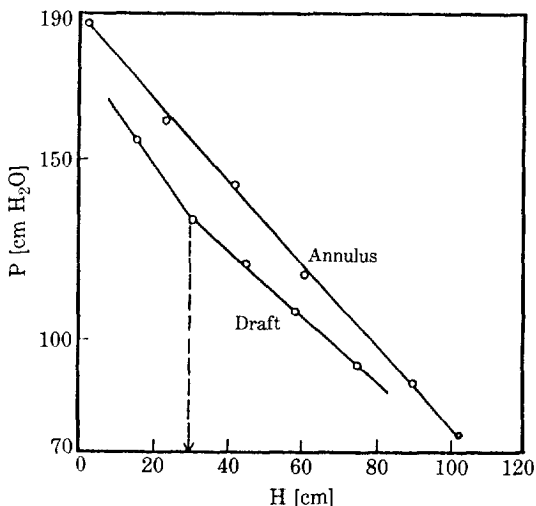


Fig. 5. Pressure profile with column height.
 $(D_i = 9.4 \text{ cm}, d_p = 0.12 \text{ cm}, U_L = 0.72 \text{ cm/s}, U_g = 1.56 \text{ cm/s})$
[bed height = 28 cm]

circulation 되어 固體粒子의 流動화는 氣相 - 液相의 流速이 낮은 範圍에서도 쉽게 流動화시킬 수 있었으며, 또 draft 管 内에서는 固體相의 層높이에 따른 壓力差異가 일어나게 되어서 氣 - 液 - 固 3相系와 氣 - 液 2相系로 分離되는 固體相의 膨脹된 層높이를 알 수 있었다. 여기서 draft 管 内의 固體粒子相의 膨脹된 層높이는 28 cm 이었다.

塔 内로 液相의 連續的인 注入 狀態에서 氣相을 並流로 注入하면 draft 管의 影響으로 낮은 流速에서도 固體粒子가 流動化되면서 氣泡가 上昇하게 되며, 이때 氣相과 液相間의 接觸과 搅拌效果가 增大된다. 또한 氣相과 液相의 流速變化와 塔 内의 充填物質 等의 狀態에 따라 흐름形態가 變하게 되고, 이와 같은 흐름形態의 變化는 流動層塔의 效率을豫測하고 裝置를 設計하는데 있어서 重要한 因子 中의 하나이다.

本 裝置系의 實驗과 draft 管이 없는 三相 流動層塔에서 Taitel 等[8]의 實驗에 依하여 提示된 흐름形態의 區分을 比較하면, 本 實驗領域이 bubble flow regime 으로 볼 수 있으며 약간의 slug flow regime 을 包含하고 있다.

Fig. 6에 氣相 流速의 增加에 對한 氣相 滯留量을 固體粒子의 크기에 따라 圖示하였다. 氣相 流速의 增加에 對하여 滯留量은 線型的인 關係에 있다. 同一한 draft 管에서 氣相流速의 增加에 對하여 固體粒子의 크기가 클수록 滯留量이 減少하고 있음을 알 수 있었다.

Fig. 7에 氣相 流速變化에 對한 氣相 滯留量의 變化

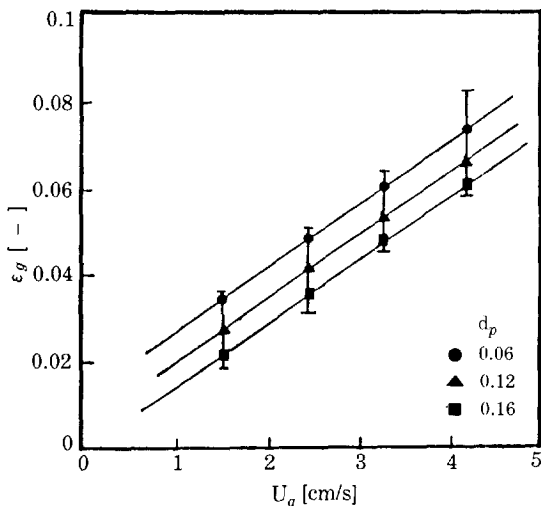


Fig. 6. Effect of gas velocity on gas holdup in three phase fluidization with draft tube.
 $(D_i = 7.4 \text{ cm}, U_L = 0.56-1.44 \text{ cm/s})$

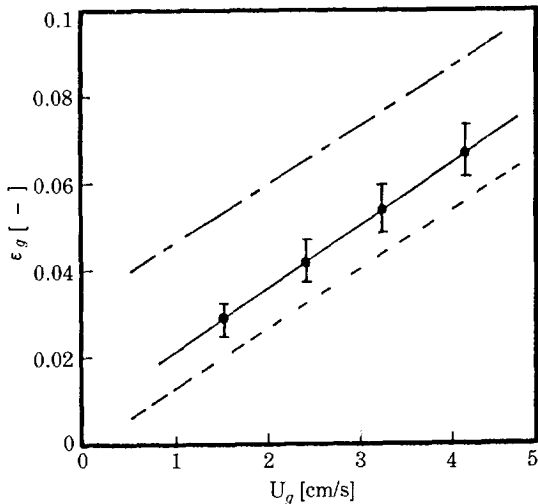


Fig. 7. Effect of gas velocity on gas holdup compared with previous studies.

- This study ($D_i = 8.4 \text{ cm}, d_p = 0.12 \text{ cm}, U_L = 0.36-1.44 \text{ cm/s}$)
- - - Michelsen & Ostgaard [9] ($d_p = 0.125 \text{ cm}, U_L = 3 \text{ cm/s}$, without draft tube)
- Koide et al. [11] ($D_i = 8.2 \text{ cm}, U_L = 0$, with draft tube air-liquid (stagnant) system)

를 draft 管의 有無에 따라, 固體相 粒子의 有無에 따라 比較하여 圖示하였다. 本 研究에서 draft 管 크기 8.4 cm, 固體粒子크기 0.12 cm이고 液相 流速이 0.36-1.44

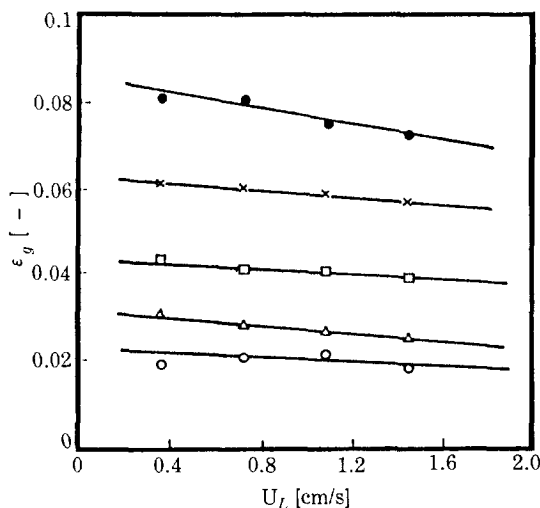


Fig. 8. Effect of liquid velocity on gas holdup in three phase fluidization with draft tube.
($D_i = 7.4$ cm, $d_p = 0.06$ cm)
 U_g [cm/s] 1.13 1.56 2.44 3.32 4.23
○ △ □ × ●

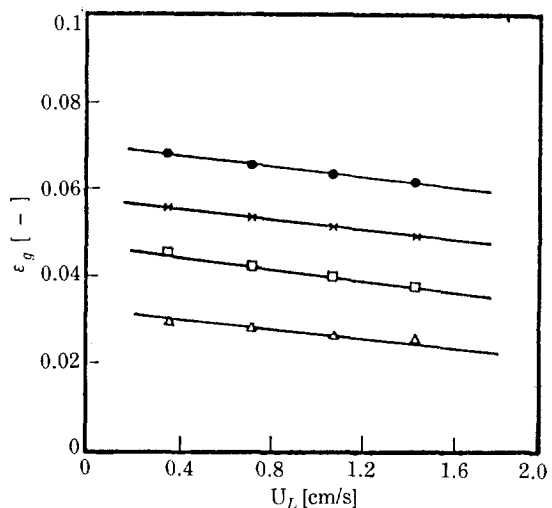


Fig. 9. Effect of liquid velocity on gas holdup in three fluidization with draft tube.
($D_i = 9.4$ cm, $d_p = 0.16$ cm)
 U_g [cm/s] 1.56 3.32 4.23
△ □ × ●

cm/s에 대하여 氣相 滯留量이 氣相 流速 增加에 따라 線型的으로 增加하고 있음을 알 수 있었다. 또, Michelsen 과 Ostergaard[9]의 研究報告에서도 粒子 크기가 0.125 cm이고, 液相 流速이 3 cm/s에서 draft 管이 없는 三相 流動層塔에서와 Koide 等[10]이 draft 管의 크기가 8.2 cm인 氣-液 2相系에서 液相을 停滯 시킨 狀態로 實驗한 研究報告와 本 研究에서의 結果가 같은 傾向을 나타내었다. 여기서, 本 研究結果가 draft 管이 없는 경우보다 氣相 滯留量이 더 크게 나타나고 있다. 이것은 draft 管 内로 氣相 流速의 影響을 크게 받아 流動層 内의 氣泡數의 增加現象이 두드러지는 것으로 思料된다.

Fig. 8, 9에는 液相 流速變化에 따른 氣相 滯留量을 draft 管의 크기가 7.4 cm, 9.4 cm에서 氣相 流速別로 圖示하였다. 液相 流速이 增加함에 따라 氣相 滯留量이 減少하는 傾向을 나타내었는데, 이것은 連續操作에서 液相 流速이 draft 管 内에서 相對的으로 增加되어 滯留量이 減少하는 것으로 思料된다.

Fig. 10은 draft 管의 크기 變化($D_i/D_c = 0.50-0.70$)에 對하여 氣相 滯留量을 圖示하였다. 本 研究에서 氣相 滯留量이 draft 管의 크기에 큰 影響이 없음을 알 수 있는데, 이것은 다른 研究者들의 報告[11]와도 一致하는 傾向을 나타내었다.

Draft 管이 있는 三相 流動層塔에서 주어진 實驗變數範圍에 對하여 multiple linear regression 한 結果로

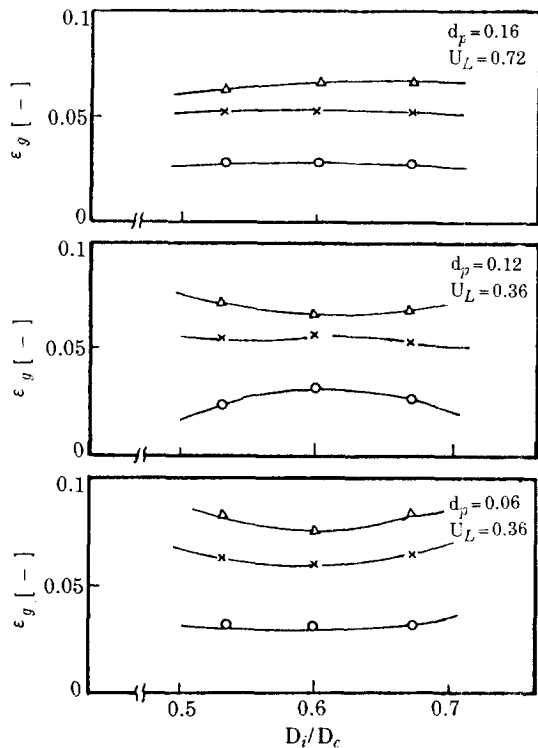


Fig. 10. Effect of draft tube diameter on gas holdup.
 U_g [cm/s] 1.56 3.32 4.23
○ × □

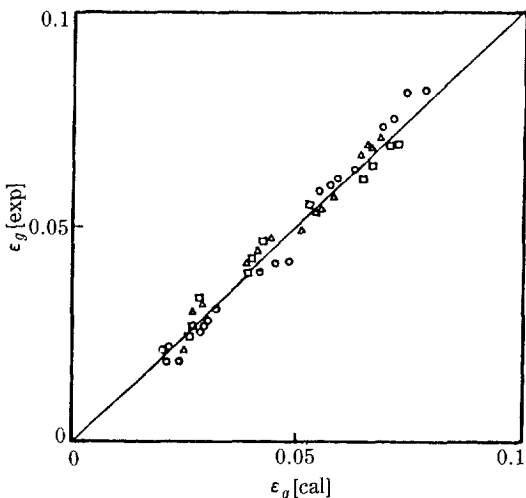


Fig. 11. Comparison of experimental and calculated values of gas holdup.

$$d_p [\text{cm}] \quad 0.06 \quad 0.12 \quad 0.16 \\ \circ \quad \triangle \quad \square$$

서 氣相 滯留量을 다음과 같은 經驗式으로 나타낼 수 있었다.

$$\varepsilon_g = 0.01493 (D_i/D_c)^{0.0993} d_p^{-0.1115} U_L^{-0.0914} U_g^{0.9113} \quad (2)$$

correlation coefficient : 0.9725

standard deviation : 0.107

式 (2)로 計算한 氣相 滯留量과 實驗에 依하여 測定된 氣相 滯留量을 Fig. 11에 比較하여 圖示하였으며, 實驗 值과 計算值이 잘 一致하고 있음을 알 수 있었다.

式 (2)를 氣相과 液相의 Reynolds 數와 column 的 크기 사이의 無次元 變數의 相關 關係式으로 式 (3)과 같이 整理하였다.

$$\varepsilon_g = 10^{-3.2024} Re_L^{-0.0908} Re_g^{0.9030} (D_i/D_c)^{0.0805} \quad (3)$$

3-2. 物質傳達

軸方向 높이에 따라 溶存酸素濃度 分布를 draft 管의 크기가 8.4 cm이고, 固體粒子의 크기가 0.12 cm, 氣相 流速이 2.44 cm/s, 液相 流速이 0.72 cm/s인 경우에 Fig. 12에 圖示하였다. 이것은 實驗 裝置系가 定常狀態에 到達하였을 때의 濃度分布로서 annulus 部분에는 塔 높이 15 cm 以上에서는 濃度가 거의 같았으며, draft 管 内에서는 酸素濃度가 塔 높이에 따라 거의 直線的으로 增加하였다. 이와 같은 現象은 draft 管의 作用에 依하여 流速의 相對的인 增大效果를 얻을 수 있고, draft 管 内에서는 plug flow 와 類似한 흐름이 이루어지기 때문으로 料料된다.

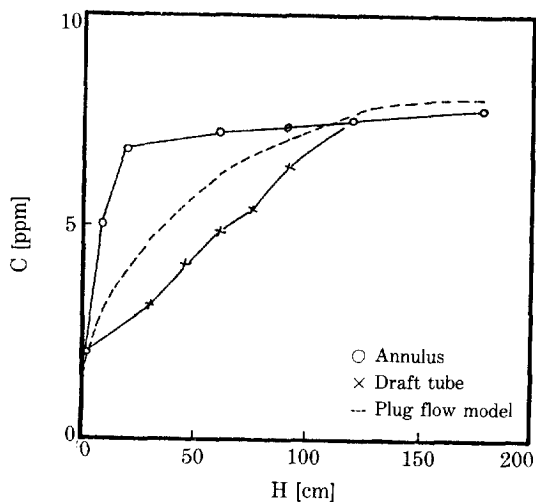


Fig. 12. Concentration profile in three phase fluidization with draft tube.

$$(D_i = 8.4 \text{ cm}, d_p = 0.12 \text{ cm}, U_L = 0.72 \text{ cm/s}, U_g = 2.44 \text{ cm/s})$$

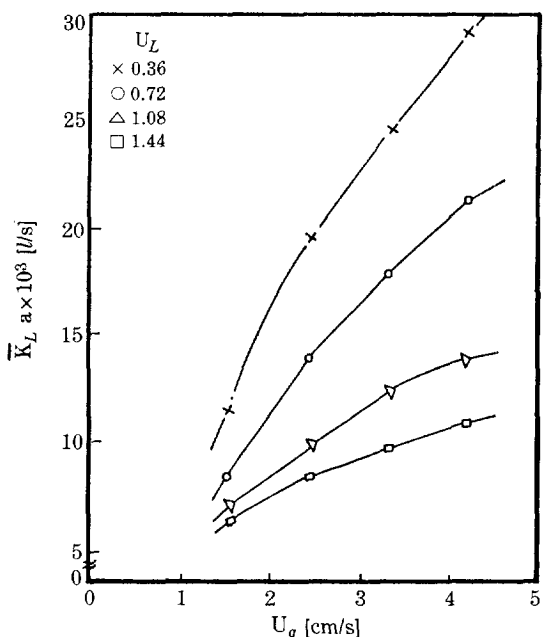


Fig. 13. Effect of gas velocity on overall volumetric mass transfer coefficient in three phase fluidization with draft tube. ($D_i = 8.4 \text{ cm}$, $d_p = 0.06 \text{ cm}$)

Fig. 13은 總括 容量 物質傳達係數, $\bar{K}_L a$ 에 미치는 氣相 流速의 影響을 液相 流速에 따라 圖示하였다. 여기서, 氣相 流速이 增加함에 따라 物質傳達係數가 增加

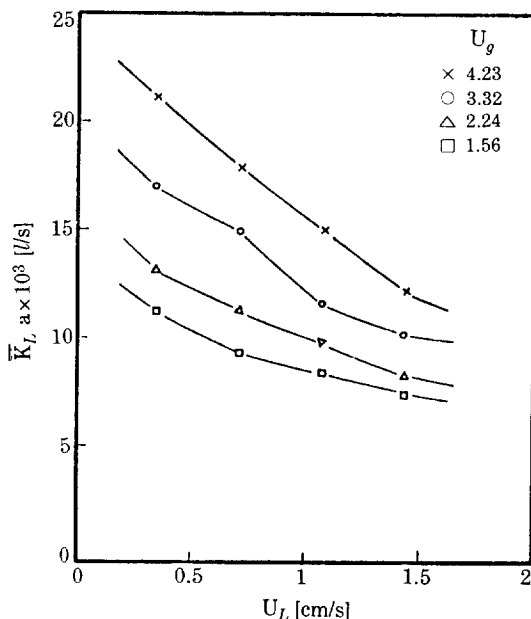


Fig. 14. Effect of liquid velocity on overall volumetric mass transfer coefficient in three phase fluidization with draft tube.
($D_i = 7.4$ cm, $d_p = 0.06$ cm)

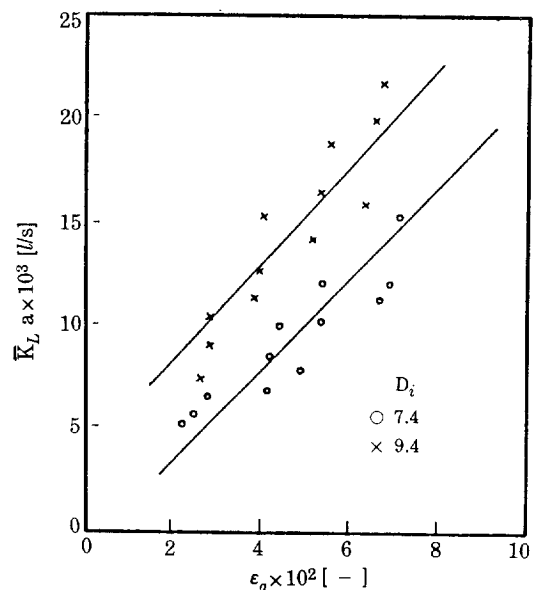


Fig. 16. Effect of gas holdup on overall volumetric mass transfer coefficient in three phase fluidization with draft tube.
($d_p = 0.12$ cm, $U_g = 1.56-4.23$ cm/s, $U_L = 0.72-1.44$ cm/s)

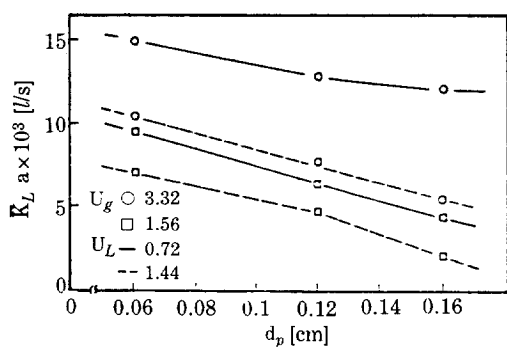


Fig. 15. Effect of particle size on overall volumetric mass transfer coefficient in three phase fluidization with draft tube.
($D_i = 7.4$ cm)

하고 있으며, 이것은 氣相流速이 커지면 塔內의 氣相滯留量이增加되어 氣相과 液相의 接觸面積이 커지고 氣相流入에 依하여 들어오는 에너지가 液相으로 傳達되면서 small scale의 eddy를 形成하게 된다. 그러나로, Lamont와 Scott[12]가 提示한 eddy cell model에 依據하여 large scale eddy 속의 small scale eddy가 發生하여 氣相과 液相 사이의 物質傳達效果가 增大

되고, 同時に 液相의 總括 容量 物質傳達係數가 增加하게 된다.

Fig. 14에 draft管의 크기 7.4 cm, 固體粒子크기 0.06 cm의 경우에 液相流速이 物質傳達係數에 미치는影響을 氣相流速에 따라 圖示하였다. 總括 容量 物質傳達係數, $K_L a$ 는 液相流速이 增加함에 따라 減少하는 傾向을 보이고 있다. 이것은 draft管이 없는 氣泡塔이나 流動層塔에서는 液體流速이 增加하면 物質傳達係數도 增加하는 傾向을 보이고 있으나[13-15], draft管이 있는 三相流動層塔에서는 이것과 反對의 傾向을 보이는 것은 流速이 增加할수록 draft管內의 液相流速이 相對적으로 增加되기 때문인 것으로 料思된다.

Fig. 15는 draft管이 7.4 cm이고, 液相流速이 0.72, 1.44 cm/s이고, 氣相流速이 1.56, 3.32 cm/s인 경우에 物質傳達係數에 미치는 固體粒子크기의 影響을 流速에 따라 圖示하였다. 이때, 固體粒子크기가 增加함에 따라 物質傳達係數는 減少하는 傾向을 나타내었다. Massimilla等[16]은 draft管이 없는 三相流動層塔에서 固體粒子의 크기에 따라 總括 容量 物質傳達係數는 減少하고 있으며, 流動層塔이 氣泡塔의 경우보다 더 작다고 報告하였다. 그것은 固體粒子의 크기가 0.22,

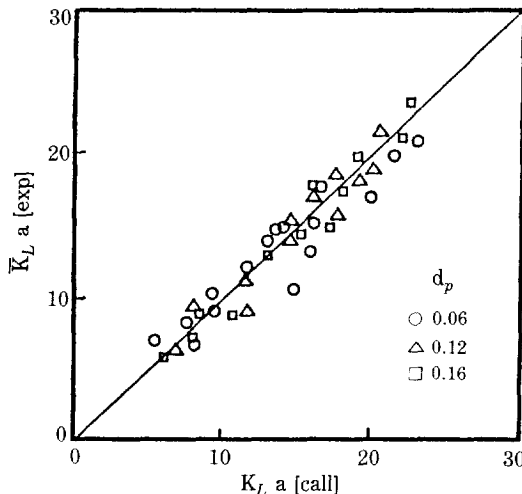


Fig. 17. Comparison of experimental and calculated values of overall volumetric mass transfer coefficient in three phase fluidization with draft tube.

0.5, 0.8 mm 로서 氣泡가 合體現象을 보이는 領域이기 때 문에 粒子크기에 따라 減少한다고 報告하였다.

Fig. 16 은 draft 管의 크기가 7.4, 9.4 cm 이고, 固體粒子크기가 0.12 cm 인 경우에 氣相 滯溜量 變化에 對한 總括 容量 物質傳達係數를 圖示하였다. 物質傳達係數는 氣相 滯溜量 增加에 따라 線型의 으로 增加하였다. 이러한 現象은 Shah 等[3], Deckwer 等[17]과 Akita 와 Yoshida[18]의 結果와도 一致하였다.

Draft 管이 있는 三相 流動層塔에 對한 總括 容量 物質傳達係數를 本 研究의 實驗 變數 範圍에서 各 變數를 multiple linear correlation 하여 다음과 같은 經驗式 을 얻을 수 있었다.

$$\bar{K}_L a = 0.00653 (D_i/D_c)^{1.8054} d_p^{-0.3090} U_L^{-0.5056} U_g^{0.7306} \quad (4)$$

correlation coefficient : 0.957

standard deviation : 0.117

式 (4)에서 求한 $\bar{K}_L a_{(ca)}$ 값과 實驗에서 얻은 $\bar{K}_L a_{(exp)}$ 값의 比較를 Fig. 17에 圖示하였다. 이때, 實驗值와 理論值의 偏差가 11.7% 範圍 以上에서 잘 一致하고 있다.

本 實驗의 裝置系에서 氣 - 液 사이의 物質傳達에 對한 無次元 相關 關係式을 modified 된 Sherwood 數 ($\bar{K}_L a D_c^2 / D_o$) 를 利用하여 式 (5)와 같이 쓸 수 있다.

$$Sh = f(Sc, Bo, Re_L, Re_g, Ga, Fr, We, D_i/D_c, \epsilon_g) \quad (5)$$

式 (5)를 multiple linear correlation 하여 式 (6)과

같은 經驗式을 얻을 수 있었다.

$$Sh = 10^{5.2384} Re_L^{-0.5061} Re_g^{0.7047} (D_i/D_c)^{1.7585} \quad (6)$$

式 (6)에서 求한 Sh(cal)과 實驗에서 求한 Sh(exp) 를 比較하였다. 이때, 實驗值와 理論值의 偏差가 14.3 %範圍에서 잘 一致하고 있다.

4. 결 론

Draft 管이 있는 三相 流動層塔에서 液相(물)-氣相(空氣)-固相(glass bead)의 三相系에 對하여, 本 裝置系의 實驗 變數範圍에서 氣相 滯溜量과 物質傳達特性에 關한 實驗과 考察을 通하여 다음과 같은 結論을 얻었다.

1. 總括 氣相 滯溜量은 氣相 流速 增加에 따라 增加하고 있으며, 液相 流速과 固體粒子크기의 增加에 따라서는 減少하는 傾向을 나타내었다.

2. 氣相 滯溜量을 multiple linear regression 한 結果 다음과 같은 經驗式을 얻을 수 있었다.

$$\epsilon_g = 0.01493 (D_i/D_c)^{0.0993} d_p^{-0.1115} U_L^{-0.0914} U_g^{0.9113}$$

3. 總括 容量 物質傳達係數는 氣相 流速과 draft 管의 크기가 增加함에 따라 增加하고 있으며, 液相 流速과 固體粒子크기의 對하여는 減少하는 傾向을 나타내었다.

4. 總括 容量 物質傳達係數를 multiple linear regression 한 結果 다음과 같은 經驗式을 얻을 수 있었다.

$$\bar{K}_L a = 0.00653 (D_i/D_c)^{1.8054} d_p^{-0.3090} U_L^{-0.5056} U_g^{0.7306}$$

$$Sh = 10^{5.2384} Re_L^{-0.5061} Re_g^{0.7047} (D_i/D_c)^{1.7585}$$

NOMENCLATURE

Bo	: Bond number ($= D_c \rho_L g / \sigma$) [-]
C	: concentration [mol/l]
C_i	: initial concentration of dissolved oxygen [mol/l]
C_o	: saturated concentration of dissolved oxygen [mol/l]
D_c	: column diameter [cm]
D_i	: inner diameter of draft tube [cm]
d_p	: particle diameter [cm]
Fr	: Froude number ($= U_g^2 / D_c g$) [-]
Ga	: Galileo number ($= D_c^3 g / \nu L^2$) [-]
H	: height [cm]
$\bar{K}_L a$: overall volumetric liquid phase mass transfer

	coefficient [l/s]
P	: pressure [cmH ₂ O]
Re _g	: Reynolds number of gas phase ($= D_c U_g \rho_g / \mu_g$) [-]
Re _L	: Reynolds number of liquid phase ($= D_c U_L \rho_L / \mu_L$) [-]
Sc	: Schmidt number = $\mu_L / (D_o \rho_L)$ [-]
Sh	: Sherwood number ($= K_L a D_c^2 / D_o$) [-]
U _g	: gas superficial velocity [cm/s]
U _L	: liquid superficial velocity [cm/s]
U _{mf}	: minimum fluidizing velocity [cm/s]
We	: Weber number ($= D_c \rho_L U_g^2 / \sigma$) [-]
ε _g	: overall gas holdup [-]

REFERENCES

- Cooper, P.F. and Atkinson, B.: "Biological Fluidized Bed Treatment of Water and Waste-water", W.R.C., Ellis Horwood Pub., Chichester (1981).
- Hirata, A.: *Control of Water Purification and Liquid Waste Treatment (Japan)*, **23**, 15 (1982).
- Shah, Y.T., Kelkar, B.G., Godbole, S.P., and Deckwer, W.D.: *AIChE J.*, **28**, 353 (1982).
- Koide, K., Horibe, K., Kawabata, H., and Ito, S.: *J. Chem. Eng., Japan*, **17**, 368 (1984).
- Muroyama, K., Yasunishi, A., and Mitani, Y.: Proceedings of 3rd PACHEC, vol. 1, 303 (1983).
- Choi, K.H., Kim, J.W., and Lee, W.K.: *Korean J. Chem. Eng.*, **3**, 127 (1986).
- Yamashita, F.: *J. Chem. Eng., Japan*, **18**, 349 (1985).
- Taitel, Y., Bornea, D., and Dukler, A.E.: *AIChE J.*, **26**, 345 (1980).
- Michelsen, M.L. and Ostergaard, K.: *J. Chem. Eng.*, **1**, 37 (1970).
- Koide, K., Sato, H., and Iwamoto, S.L.: *J. Chem. Eng., Japan*, **16**, 407 (1983).
- Koide, K., Horibe, K., Kawabata, H., and Ito, S.: *J. Chem. Eng., Japan*, **18**, 248 (1985).
- Lamont, J.C. and Scott, D.S.: *AIChE J.*, **16**, 513 (1970).
- Koide, K., Yamazoe, S., and Harada, S.: *J. Chem. Eng., Japan*, **18**, 287 (1985).
- Ostergaard, K. and Suchozebrski, W.: Proceeding Europ. Symp. Chem. React. Eng., Pergamon Press, Oxford (1969).
- Ostergaard, K.: *AIChE Symp. Ser.*, **176**, 82 (1978).
- Massimilla, C., Majuri, N., and Signorimi, P.: *La Ricerca Scientifica*, **29**, 1934 (1959).
- Deckwer, W.D., Nguyen-tien, K., Kelkar, B.G., and Shah, Y.T.: *AIChE J.*, **29**, 915 (1983).
- Akida, K. and Yoshida, K.: *IEC Proc. Des. & Dev.*, **12**, 72 (1973).